

# تحلیل هندسی و جنبشی تاقدیس‌های کبیرکوه و چناره در کمربند چین-راندگی زاگرس

فاطمه زینعلی<sup>(۱)</sup>، حسین حاجی علی بیگی<sup>(۲)</sup>، محمد رضا قاسمی<sup>(۳)</sup> و حمید رضا کربیم‌نژاد<sup>(۴)</sup>

۱. دانشجوی کارشناسی ارشد تکتونیک، دانشکده علوم زمین، دانشگاه شهید بهشتی، تهران، ایران

۲. استادیار گروه زمین‌شناسی، دانشکده علوم زمین، دانشگاه شهید بهشتی، تهران، ایران

۳. استادیار پژوهشکده علوم زمین، سازمان زمین‌شناسی و اکتشافات معدنی کشور، تهران، ایران

۴. کارشناس ارشد مدیریت اکتشاف شرکت ملی نفت ایران

تاریخ دریافت: ۹۱/۹/۲۹

تاریخ پذیرش: ۹۲/۱۱/۲۰

## چکیده

تاقدیس‌های کبیرکوه و چناره در پهنه لرستان، در کمربند چین-راندگی زاگرس واقع شده‌اند. هندسه و تحول جنبشی چین‌ها در کمربند چین-راندگی زاگرس توسط گسل‌های راندگی کنترل می‌شود. در این مقاله، هندسه ساختاری تاقدیس‌های کبیرکوه و چناره به منظور تحلیل سبك دگریختی آنها بررسی شده است. به منظور تحلیل سبك دگریختی در تاقدیس‌های نامبرده، پنج برش عرضی ساختاری، عمود بر امتداد اثر محوری تاقدیس‌ها تهیه شده است. برایه تحلیل هندسی و جنبشی انجام شده، تاقدیس‌های کبیرکوه و چناره هندسه‌ای شبیه به چین‌های فراکنشی گسلیده با چند سطح فراکنش دارند. سطح فراکنش عامل این چین‌خوردگی‌ها عمیق و احتمالاً در سری پالئوزوئیک زیرین است. همچنین برش‌های عرضی ساختاری ترسیم شده، بیانگر نقش مهم سازند دشک به عنوان سطح فراکنش میانی عامل توسعه دگریختی‌ها در این بخش از پهنه لرستان هستند.

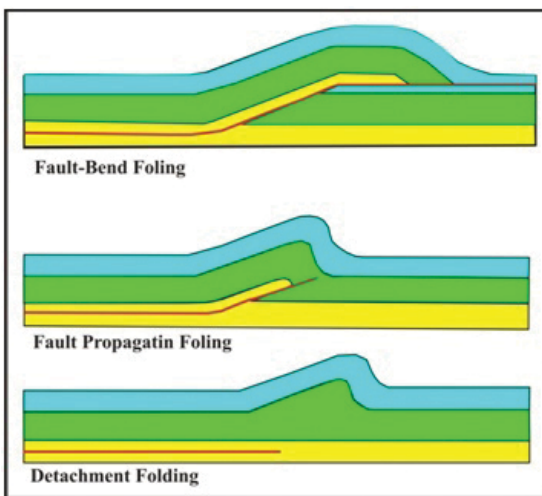
واژه‌های کلیدی: برش عرضی ساختاری، چین‌خوردگی مرتبط با گسل‌ش و کمربند چین-راندگی زاگرس.

می‌شوند (Nemcok et al., 2005). افزون بر آن

کوتاه‌شدنی پیوسته و دگرشکلی درونی از دیگر عوامل ایجاد چین‌ها با هندسه‌های متفاوت درنظر گرفته می‌شوند. چندین مدل هندسی در مورد ارتباط هندسی چین‌ها و گسل‌های راندگی، برای کمربندهای چین-راندگی نازک‌پوسته ارائه شده است که همگی براساس

مقدمه انواع متفاوتی از ورقه‌های رانده شده در کمربندهای چین-راندگی وجود دارد که توسعه، سازوکار حرکت و دگرشکلی درونی آنها متفاوت است. این تفاوت‌ها سبب ایجاد انواع متفاوت چین‌ها در ورقه‌های راندگی

\* نویسنده مرتبط: Zeinali.fateme.fz@gmail.com



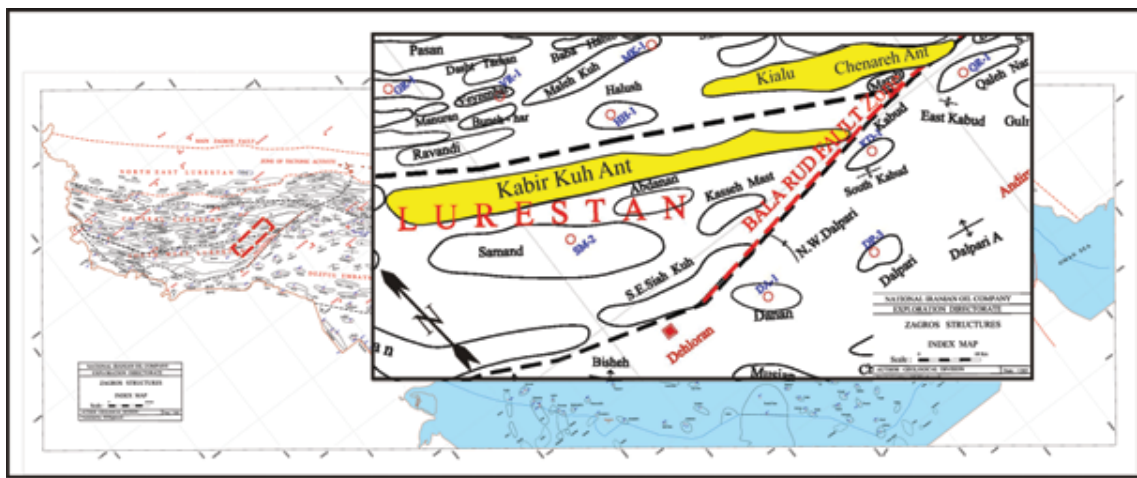
شکل ۱. انواع چین‌های مرتبط با گسلش (برگرفته از Jamison, 1987)

### جایگاه زمین‌ساختی

تاقدیس کبیرکوه با طول حدود ۲۲۰ کیلومتر و عرض ۱۰-۲۰ کیلومتر یکی از بزرگ‌ترین و مرتفع‌ترین ساختارها در پهنه روسوبی - ساختاری لرستان است. تاقدیس‌های کاسه‌ماست و چناره - کیالو به ترتیب در جنوب باخته و شمال خاور این تاقدیس واقع شده‌اند. تاقدیس چناره که در انتهای شمال باخته، کیالو نیز نامیده می‌شود با طول حدود ۶۵ کیلومتر و عرض متوسط ۸ کیلومتر و راستای شمال باخته-جنوب خاور در ۵۰ کیلومتری شمال اندیمشک واقع شده است. تاقدیس‌های خوشاب و مراب به ترتیب در شمال و جنوب این ساختار قرار دارند (شکل ۲). دسترسی به این تاقدیس از طریق جاده اصلی خرم‌آباد-پل‌دختر (در مجاورت تنگه فنی) و آزادراه خرم‌آباد - پل‌زال امکان‌پذیر است.

موازن‌ه طول و حجم هستند و عنوان چین‌خوردگی‌های مرتبط با گسلش<sup>۱</sup> به آنها داده شده است. این ارتباط توسط محققین بسیاری مورد بررسی قرار گرفته است که منجر به ارائه تقسیم‌بندی‌های متعددی برای آن شده است (Suppe, 1985; Jamison, 1987, Throbjornsen and Dunne, 1997 Jamison, 1987) چین‌های مرتبط با گسل را در سه گروه کلی چین‌های خم گسلی<sup>۲</sup>، پیشروی گسلی<sup>۳</sup> و چین‌های فراکنشی<sup>۴</sup> قرار داده است (شکل ۱). این مدل‌ها شاخص‌هایی برای تفسیرهای لرزه‌ای و بازسازی برش‌های ترازمند فراهم می‌کنند و ابزار با ارزشی برای فهم هندسه مخازن هیدروکربنی هستند. دو نوع عمومی چین‌های تاخورده و چین‌های مرتبط با گسل‌های راندگی در کمربند زاگرس وجود دارد که توزیع، وضعیت قرارگیری و هندسه این چین‌ها به طور مستقیم در ارتباط با هندسه حوضه و ویژگی‌های مکانیکی توالی پوشش روسوبی است (Sepehr et al., 2006). به دلیل تغییر سطوح فراکنشی در بخش‌های مختلف، به صورت جانبی و طولی، ویژگی‌های فیزیکی این لایه‌ها تغییر می‌کند و همین امر عاملی برای حضور سبک‌های ساختاری متفاوت در بخش‌های مختلف کمربند زاگرس است. همچنین جنبش گسل‌های رانده به همراه عملکرد سطوح فراکنش، عواملی هستند که در طی تکامل چین، بیشترین اثر را بر هندسه و الگوی چین دارند. در این مقاله با مطالعه ساختاری تاقدیس‌های چناره و کبیرکوه در پهنه روسوبی-ساختاری لرستان با استفاده از ترسیم برش‌های عرضی ساختاری ترازمند، به بررسی هندسه و الگوی این تاقدیس‌ها پرداخته خواهد شد و افزون بر آن تاثیر سطوح فراکنش در برش‌ها نیز مورد بررسی قرار خواهد گرفت.

1. Fault-related folding
2. Fault bend fold
3. Fault propagation fold
4. Fault detachment fold



شکل ۲. A) نقشه کمریند ساده چین خورده زاگرس، B) موقعیت تاقدیس‌های کبیرکوه و چناره (برگرفته از N.I.O.C, 2003)

این واحد سنگ‌شناختی در پس‌یال به سازندهای امیران (سیلتستون، ماسه‌سنگ، کنگلومرا) چرت‌دار و آهک شیلی به سن ماستریشتین-پالئوسن)، تله‌زنگ (آهک متوسط دانه تا توده‌ای به سن پالئوسن-اوسن میانی) و کشکان (شامل کنگلومرا، ماسه‌سنگ و سیلتستون به سن اوسن میانی) تبدیل می‌شود. سازند گوری (مارل‌های آب‌های عمیق و شیل به سن سانتونین-ماستریشتین) در هر دو یال تاقدیس‌ها رخنمون یافته است. گروه بنگستان شامل سازندهای ایلام (سانتونین-کامپانین) مشتمل بر آهک‌های نازک لایه و شیلی. سازند سورگاه (تورونین-سانتونین) حاوی شیل‌های پیریت‌دار و آهک نازک لایه. سازند سروک (آلبین-تورونین)، سنگ آهک آب‌های عمیق با لایه‌بندی نازک سنگ‌آهک نریتیک و سازند کژدمی (آلبین-سنومانین زیرین) شامل مارل‌های خاکستری با شیل‌های فرعی و تیره، سنگ‌آهک آرژیلیتی در محور تاقدیس چناره رخنمون دارد و سازند سروک قدیمی‌ترین سازند رخنمون یافته در هسته تاقدیس کبیرکوه می‌باشند. با توجه به اطلاعات چاه‌های حفاری شده در تاقدیس‌های همچوار، در زیر گروه بنگستان، گروه خامی شامل سازندهای فهلیان

## چینه‌شناسی

توالی رسوبی و واحدهای سنگ‌شناختی تاقدیس‌های کبیرکوه و چناره به ترتیب از جدید به قدیم و به اختصار براساس James and Wynd (۱۹۶۵) و مطیعی (۱۳۷۴) عبارتند از: نهشته‌های کواترنری و پس از آن سازند بختیاری (شامل کنگلومرا و ماسه‌سنگ‌های به سن پلیوسن پسین-پلیستوسن) که به صورت رخنمون‌های کوچکی در یال جنوب‌باختری تاقدیس کبیرکوه دیده می‌شوند. سازند آغازاری (شامل ماسه‌سنگ و کنگلومرا) به سن میوسن میانی تا پلیوسن) در بخش‌هایی از یال جنوب‌باختری هر دو تاقدیس قابل مشاهده است. سازند گچساران (شامل تناوب اندیزیت - هالیت، مارل و سنگ‌آهک به سن میوسن زیرین) در ناویدیس‌های مجاور دو تاقدیس رخنمون گستردگی دارد. رخنمون عمدۀ در تاقدیس کبیرکوه به سازند آسماری (سنگ آهک نریتیک به سن الیگوسن-میوسن زیرین) و در تاقدیس چناره به سازند آسماری-شهره‌بازان متعلق است. سازند پابده (شیل‌های خاکستری و سنگ آهک‌های آرژیلیتی نازک به سن پالئوسن تا الیگوسن) در هر دو یال تاقدیس کبیرکوه رخنمون یافته اما در تاقدیس چناره

برش‌های عرضی ساختاری به منظور کمک به تحلیل و ارتقای برش‌های عرضی و امکان آزمودن اعتبار هندسه ساختاری رسم شده انجام شده است. برش‌های عرضی ساختاری ترسیم شده به روش موازن خط با طول ثابت و با در نظر گرفتن خط میخ<sup>۱</sup> در محور ناویدیس‌های بلافصل تاقدیس‌های مورد مطالعه به حالت پیش از دگریختی بازگردانده شده‌اند و محاسبات لازم برای تعیین میزان کوتاه‌شدگی در این تاقدیس‌ها انجام شده است (جدول ۱).

### برش‌های ساختاری عرضی

جهت بررسی تغییرات هندسی تاقدیس‌های چناره و کبیرکوه پنج برش عرضی ساختاری (شکل ۳) به صورت عمود بر تاقدیس‌های نامبرده ترسیم شده است (شکل ۴). در ترسیم برش‌های عرضی ساختاری به محل قرارگیری سطح فراکنش معرفی شده در ستون چینه‌شناسی این تاقدیس‌ها توجه شده است.

با استفاده از این برش‌ها و اندازه‌گیری پارامترهای مربوط به یک سطح چین خورده (شکل ۵) و نمودارهای استریوگرافیک چین‌ها (شکل ۶) جدول ۱ تهیه شده است. بر پایه این جدول می‌توان بیان نمود که تاقدیس‌های چناره و کبیرکوه از نوع چین‌های غیراستوانه‌ای می‌باشند. با توجه به طول و شیب متفاوت یال‌ها و عدم تقارن آنها نسبت به لولا در هر دو تاقدیس و همچنین برپایه وضعیت لایه‌بندی در یال‌های شمال خاوری و جنوب‌باختری تاقدیس‌ها در برش‌ها (شکل ۵) مشخص گردید که تاقدیس‌های مورد بحث به طور کلی نامتقارن<sup>۲</sup>، با پیش‌یال پرشیب‌تر و با تمایل<sup>۳</sup> به سمت جنوب-جنوب‌باختر می‌باشند. مقادیر برآورده شده برای زاویه بین دو یال<sup>۴</sup> و زاویه چین خورده‌گی<sup>۵</sup> این

(سنگ آهک الیتی تا پلیتی به سن نئوکومین)، گدوان (سنگ آهک نریتیک و سنگ آهک آژبلیتی به سن نئوکومین بالایی-آپتین) و داریان (سنگ آهک اربیتولینا دار همراه با بین لایه‌های سیلیسی و آژبلیتی اندک به سن آپتین) که به‌طور جانبی و به صورت بین انگشتی در لرستان به سازند شیلی گرو تبدیل می‌شوند، گروه کازرون شامل سازند دشتک (شیل، دولومیت، سیلتستون، انیدریت و آهک رسی به سن تریاس بالایی) و سازند نیریز، گروه دهرم شامل سازندهای فراقان (دونین-پرمین زیرین)، دالان (پرمین میانی-فوقانی) و کنگان (تریاس پیشین) قرار دارند. واحدهای پالئوزوئیک زیرین (شامل ماسه‌سنگ، شیل و اندکی کربنات است که لایه‌های کامبرین تا اردوبیسین را همراه با یک وقفه ناچیه‌ای از سیلورین تا کربونیفر در برمی‌گیرد) و سری همارز هرمز<sup>۶</sup> ( واحد تبخیری همراه با نمک و کمی ژپس، شیل و سنگ‌های کربناته به سن پروتروزوئیک بالایی-کامبرین زیرین) از واحدهای زیرین گروه دهرم هستند.

### روش مطالعه

در این بررسی به منظور مطالعه تغییرات جانبی در سبک ساختاری، تحلیل چین خورده‌گی و معرفی سطوح فراکنش عامل دگریختی؛ داده‌های سطحی، اطلاعات چاهه‌ای حفاری شده در تاقدیس‌های همجوار و نقشه‌های زمین‌شناسی برای ترسیم برش‌های عرضی ساختاری از ساختارهای چین خورده ترکیب شده‌اند. تمام برش‌های عرضی به روش کینک<sup>۷</sup> و براساس حفظ سنتبرای لایه‌ها که متدائل‌ترین روش در رسم برش‌های ساختاری است، ترسیم شده‌اند و در نهایت از برش‌های عرضی تهیه شده برای بررسی تغییرات هندسی ساختمان تاقدیس‌ها و پیش‌بینی وضعیت آنها در بخش‌های عمیق‌تر و تعیین سبک چین خورده‌گی آنها استفاده شده است. همچنین ترازمندسازی این

1. Kink method

2. Pine line

3. Asymmetrical fold

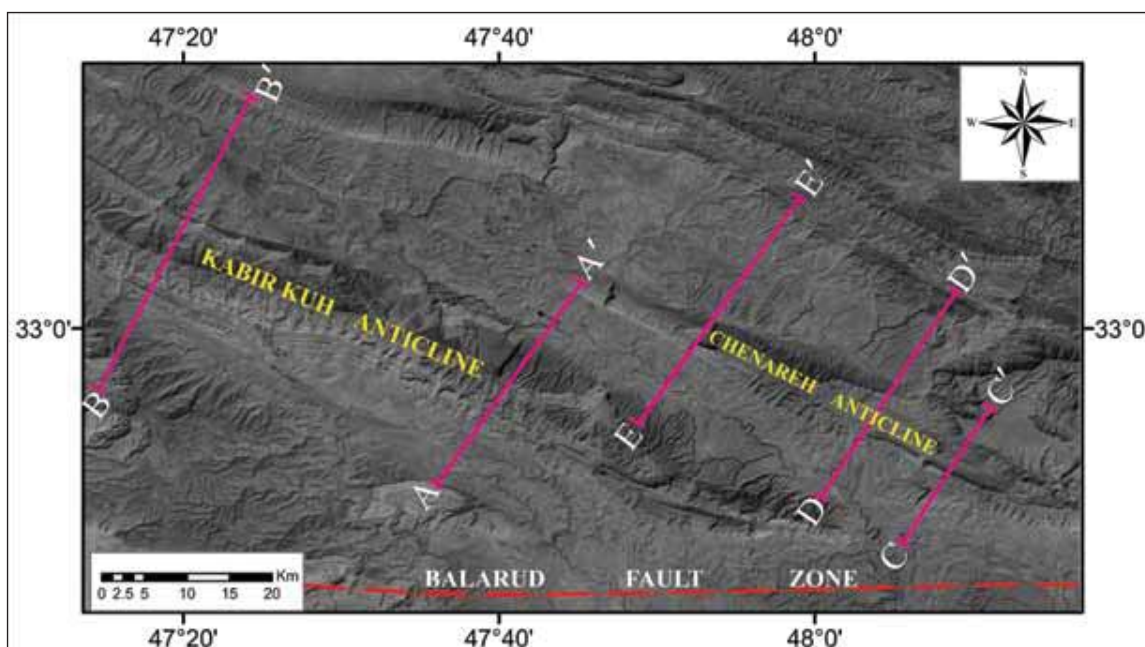
4. Vergence

5. Interlimb angle

6. Folding angle

را با واژه نیمه‌زاویه‌دار<sup>۵</sup> توصیف نمود. مقادیر نسبت  
بعادی<sup>۶</sup> محاسبه شده و لگاریتم آن برای تمام برش‌ها  
در محدوده  $0.25 \leq p \leq 0.1$  و  $0.6 \leq \text{Log } p \leq -1$  قرار دارد  
که این مقادیر واژه پهن<sup>۷</sup> را برای هردو تاقدیس پیشنهاد  
می‌کند. همچنین محاسبات انجام شده بر روی سازند  
آسماری در تمامی برش‌های رده ۱c<sup>۸</sup> طبقه‌بندی Ramsay  
EE' & Huber (1978) را برای برش‌های AA', BB' و CC'  
و RDE را برای برش‌های DD' پیشنهاد می‌کند.

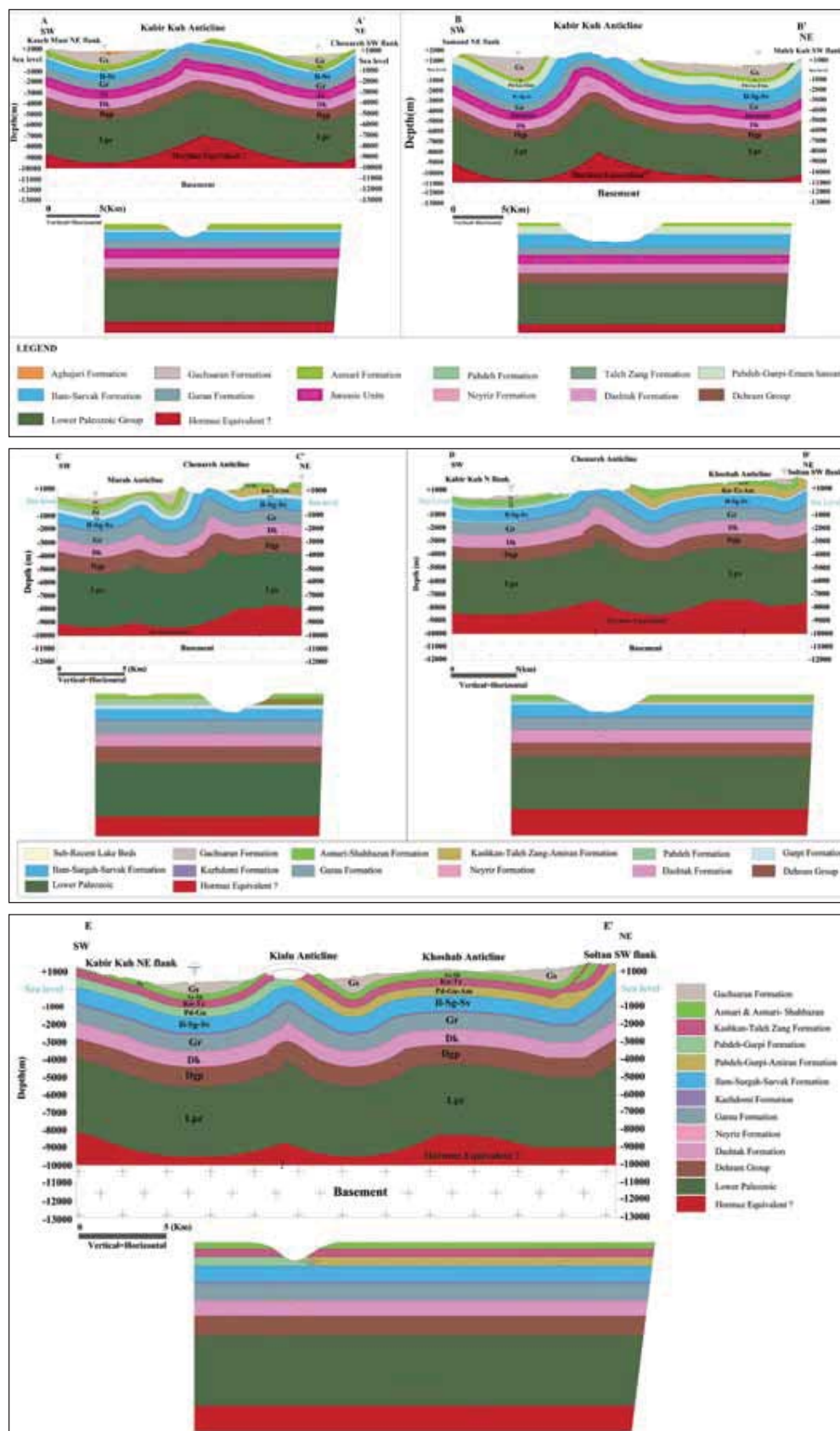
دو تاقدیس را از نظر فشردگی<sup>۱</sup> به عنوان چین‌های باز<sup>۲</sup>  
نشان می‌دهند. محاسبات لازم برای توصیف خمیدگی  
نسبی چین از نظر کندی<sup>۳</sup> در تمامی برش‌های عرضی  
ساختاری ترسیم شده، نشان داده است که در همه  
برش‌ها r<sub>c</sub> است، در برش‌های عرضی ساختاری AA'  
و BB', CC' و DD'، در برش‌های EE' و BB'، AA' و  
EE' است. بنابراین برش‌های CC' و DD' را می‌توان با واژه نیمه‌گرد شده<sup>۹</sup> و برش‌های AA' و  
BB' را با واژه نیمه‌زاویه‌دار<sup>۵</sup> توصیف نمود.



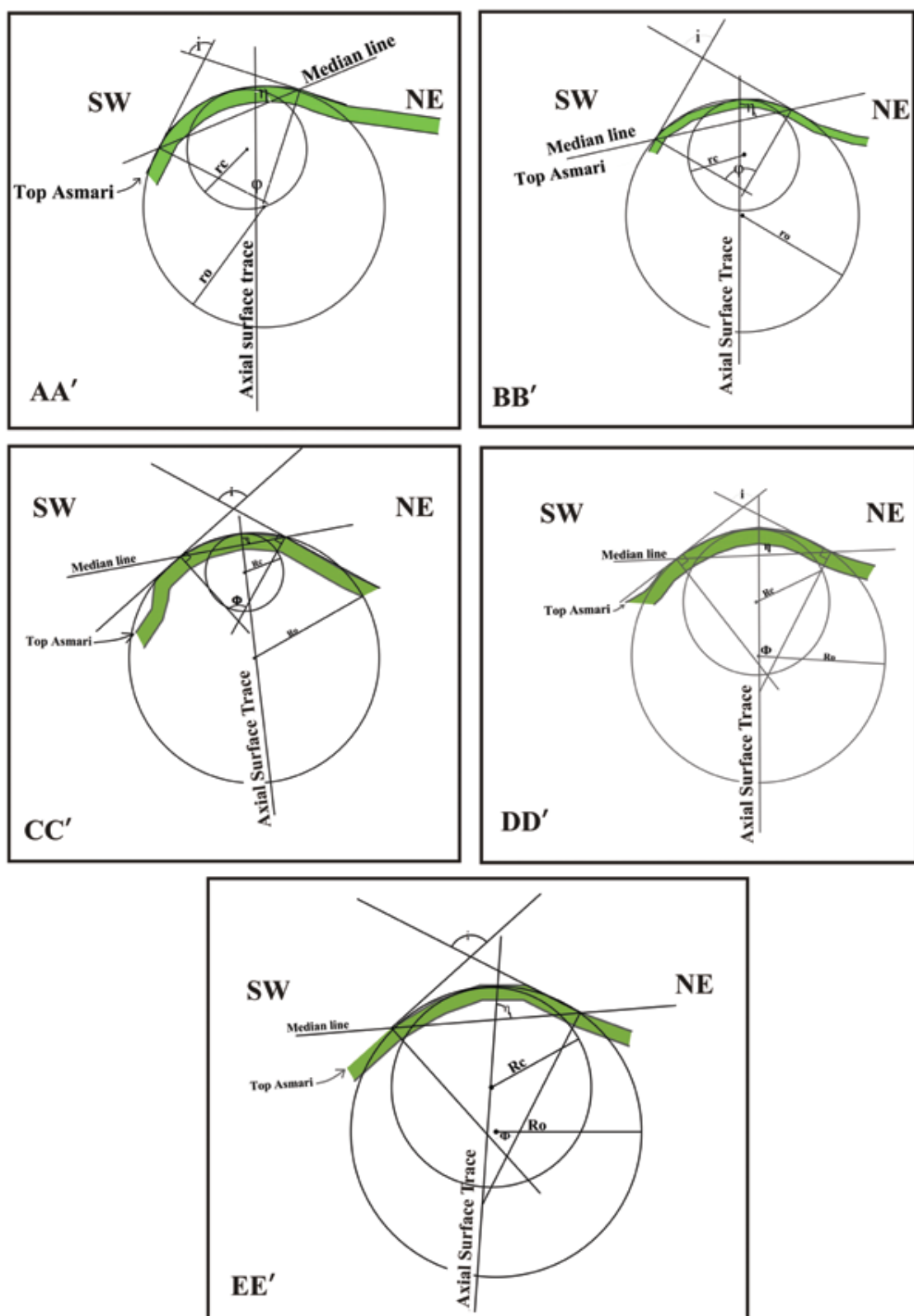
شکل ۳. نمایش محل برش‌های عرضی ساختاری بر روی تصویر ماهواره‌ای (موقعیت تصویر در شکل ۲ نشان داده شده است)

- 
1. Tightness
  2. Open
  3. Bluntness
  4. Subrounded
  5. Subangular
  6. Aspet ratio
  7. Wide
  8. Class

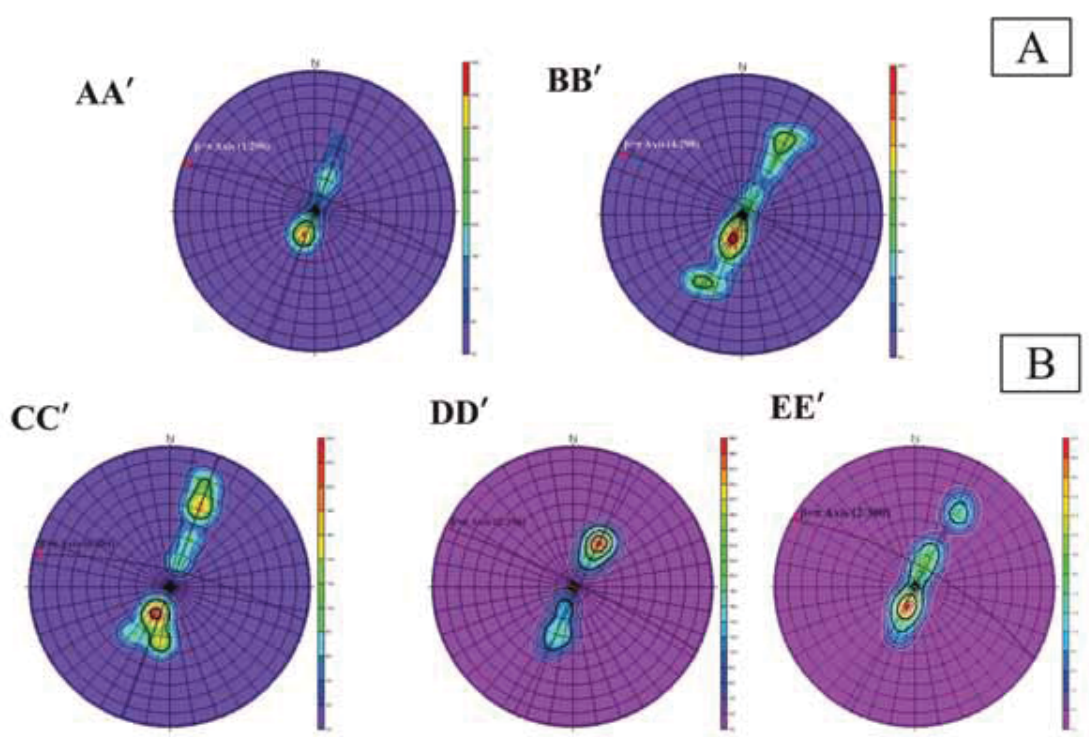
## تحلیل هندسی و جنبشی تاقدیس‌های کبیرکوه و چناره در ...



شکل ۴. برش‌های عرضی ساختاری 'AA', 'BB', 'CC', 'DD', 'EE'، 'BB'، 'CC'، 'DD'، 'EE' و بازگردانی به حالت پیش از دگرگیختی (پایین)، بر روی تاقدیس‌های کبیرکوه و چناره (جهت اطلاعات بیشتر به جدول ۱ رجوع شود)



شکل ۵. ترسیم‌های انجام شده برای اندازه‌گیری پارامترهای هندسی بر روی افق مرجع (سازند آسماری) در برش‌های عرضی ساختاری EE', DD', CC', BB', AA'



شکل ۶. استریوگرام برش‌های مختلف. A) تاقدیس کبیرکوه، B) تاقدیس چناره (جهت توضیحات بیشتر به جدول ۱ رجوع شود)

جدول ۱. پارامترهای اندازه‌گیری شده بر روی برش‌های ترسیم شده از تاقدیس‌های کبیرکوه و چناره (شکل‌های ۵ و ۶)

نام برش					مشخصات و پارامترهای هندسی تاقدیس کبیرکوه
EE'	DD'	CC'	BB'	AA'	زاویه میان یالی (i) (درجه)
۱۰۹	۹۵	۱۰۴	۹۰	۹۹	زاویه میان یالی (i) (درجه)
۷۱	۸۵	۷۶	۹۰	۸۱	زاویه چین خورده‌گی (φ) (درجه)
باز	باز	باز	باز	باز	فشدگی (T)
۹۰	۷۹	۸۹	۷۷	۶۸	زاویه تمایل (η) (درجه)
متقارن	نامتقارن	نامتقارن	نامتقارن	نامتقارن	متقارن
غیراستوانه‌ای	غیراستوانه‌ای	غیراستوانه‌ای	غیراستوانه‌ای	غیراستوانه‌ای	Cylindricity
۰/۱۴	۰/۱۵	۰/۱۴	۰/۱۵	۰/۱۴	نسبت ابعادی (p)
-۰/۸۵	-۰/۸۲	-۰/۸۵	-۰/۸۱	-۰/۸۶	
پهن	پهن	پهن	پهن	پهن	
۰/۶	۰/۴	۰/۵	۱/۲۳	۱/۲۲	
۱/۴۵	۱/۴	۱/۴	۲/۶	۲/۵	کندی چین (b)
۰/۴	۰/۲۸	۰/۳	۰/۴۷	۰/۴۹	
نیمه گرد شده	نیمه ژاویدار	نیمه ژاویدار	نیمه گرد شده	نیمه گرد شده	

ادامه جدول ۱

نام برش					مشخصات و پارامترهای هندسی تاقدیس کبیرکوه
EE'	DD'	CC'	BB'	AA'	
۱۵	۱۰	۲۰	۱۲	۳۰	طبقه‌بندی چین در سازند آسماری بر باهه Ramsay and Huber; (1987)
۱/۵	۱/۳۵	۱/۴۵	۱/۱۵	۱/۳۵	
۱/۴۴	۱/۳	۱/۴	۱/۱	۱/۳	
۱/۴۲	۱/۲۹	۱/۳۶	۱/۱۳	۱/۲۵	
۱/۴۴	۱/۳	۱/۴	۱/۱	۳/۱	
۱/۰۴	۱/۰۳	۱/۰۳	۱/۰۴	۰۳/۱	
۰/۹۹	۰/۹۹	۰/۹۷	۰/۹۹	۹۶/۰	
C1	۲	۲	C1	C1	
۸/۹۸	۱۱/۱۰	۱۵/۲۲	۲۱/۷۰	۱۹/۹۲	
۴۵۸/۵۸	۵۱۲/۳۴	۳۸۹/۷۷	۸۹۵/۲۸	۴۸۶/۴۲	
۰°، ۲۹۴°	۰°، ۲۸۴°	۰°، ۳۰۰°	۰°، ۲۹۸°	۰°، ۲۹۴°	موقعیت فضایی محور (روند-میل)
۱۱۶°، ۸۸°NE	۱۰۳°، ۸۰°NE	۱۱۶°، ۷۴°NE	۱۱۸°، ۸۶°NE	۱۱۲°، ۸۰°NE	سطح محوری
۳۵	۳۰	۳۰	۳۰	۱۸	شیب پس‌یال (α) (درجه)
۸/۴۵	۸	۹/۵	۱۰/۶۷	۶/۶۶	کوتاه‌شدگی (درصد)
-	۳۱۱/۲۱	۵۰۰/۸۲	۴۲۳/۸۲	-	ستیرای سازند گوری در پیش‌یال (متر)
-	۲۲۹/۳۵۵	۳۴۷/۵۹	۳۳۷/۱۶	-	ستیرای سازند گوری در پیش‌یال (متر)
-	۳۵/۶۸	۴۴/۱۰	۲۵/۷۰	-	ستیرشدنگی پیش‌یال (درصد)

## بحث

چین‌خوردگی جعبه‌ای تاقدیس کبیرکوه و بخش‌های شیبدار در هر دو یال در ژرف‌ها، به پیش‌بینی یک سطح فراکنش میانی در ژرف‌ای معادل با مرز تریاپس - ژوراسیک و سازند دشتک در برش‌ها متوجه شده است. طول موج به‌نسبت بالای تاقدیس چناهه نشان می‌دهد که سطح فراکنش در ژرف‌ای زیادی قرار دارد و تبخیری‌های سازند دشتک یا واحدهای عمیق‌تر در پالتوزوئیک زیرین و یا حتی سری معادل هرمز (؟) می‌توانند سطوح فراکنش بالقوه باشند.

در بررسی‌های انجام شده پیشین ( حاجی علی بیگی و همکاران، ۱۳۸۶) تاقدیس چناهه به عنوان یک چین مرتبط با گسل‌شدن از نوع چین‌های انتشار گسلی و متاثر از عملکرد منطقه گسلی بالارود معرفی شده است، در

مطالعه برش‌های عرضی ساختاری ترسیم شده و مقایسه آنها با مدل‌های هندسی ارائه شده برای چین‌های مرتبط با گسل‌شدن حاکی از آن است که تاقدیس‌های کبیرکوه و چناهه از نوع چین‌های مرتبط با گسل‌شدن و از نوع چین‌های فراکنشی گسلیده معرفی شده توسط (Mitra 2002) می‌باشند. در برش‌های ترسیم شده از این تاقدیس، تبخیری‌های تریاپس دشتک یک سطح فراکنش میانی را شکل می‌دهند که تاقدیس کبیرکوه را متاثر کرده است.

در ژرف‌ها، هندسه تاقدیس با تأکید بر حفظ ستبرای گروه بنگستان (سازندهای کژدمی، سروک، سورگاه و ایلام) و سازند گرو در زیر آن بازسازی شده است. هندسه

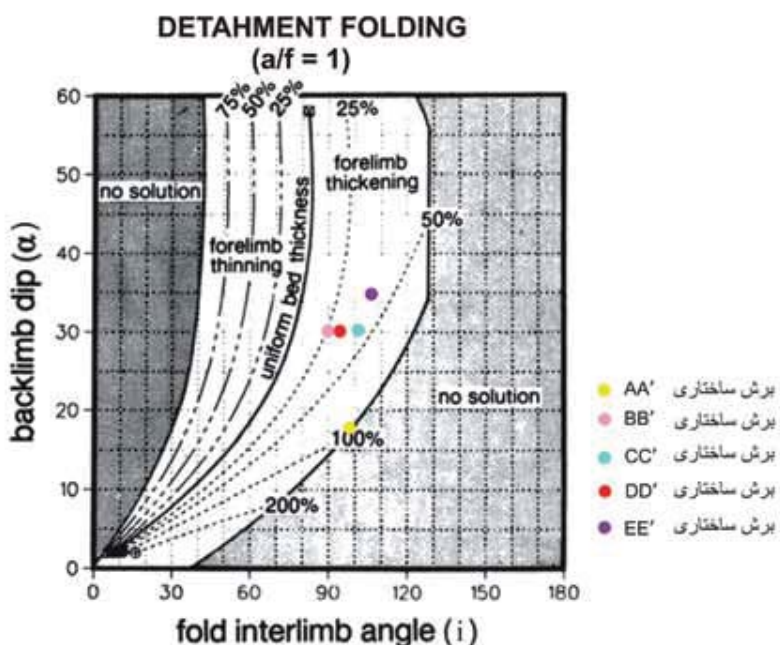
1. Faulted detachment fold

در هر سه برش (EE', DD', CC') حدود ۳۰ تا ۴۵٪ سترشیدگی پیش‌یال را نشان می‌دهد. برای مقایسه درصد سترشیدگی به دست آمده از نمودار با ستبرای واقعی پیش‌یال چین‌ها، نیاز است تا درصد سترشیدگی یا نازک‌شدگی پیش‌یال تاقدیس‌ها در سطح نیز اندازه‌گیری شود. با توجه به رخنمون سازند گوری در هر دو یال تاقدیس‌های مورد مطالعه و قابلیت تغییر ستبرای آن، از این واحد سنگ‌ساختی برای اندازه‌گیری میزان تغییرات ستبرای پیش‌یال چین‌ها در سطح استفاده شده است. لازم به ذکر است که در برش AA' به دلیل نبود رخنمون سازند گوری و در برش EE' به دلیل نبود تغییر ستبرای این واحد، اندازه‌گیری در سطح انجام نشده است.

همانطورکه مشاهده می‌شود مقادیر سترشیدگی محاسبه شده در سطح با مقادیر ۳۵ تا ۴۵٪ سترشیدگی پیش‌یال به دست آمده در نمودار چین‌های فراکنشی (شکل ۷) برای تاقدیس چناره و مقدار ۷/۲۵٪ سترشیدگی برآورد شده برای تاقدیس کبیرکوه تطابق نسبتاً خوبی دارد.

حالیکه Goodarzi (2007) در بررسی‌های خود این تاقدیس را به عنوان یک چین فراکنشی معرفی کرده است. همچنین در بررسی‌های اخیر انجام شده توسط Verges et al. (2011) بر روی تاقدیس کبیرکوه، این تاقدیس نیز به عنوان یک چین فراکنش یافته بر روی سطح فراکنش داشتک معرفی شده است که با نتایج به دست آمده از برش‌های ترسیم شده در این بررسی همخوانی دارد.

جهت بررسی میزان تغییرات ستبرای چین‌ها از نمودار نازک‌شدگی و سترشیدگی پیش‌یال چین‌های فراکنشی Jamison (1987) استفاده شده است (شکل ۷). به این منظور، پارامترهای هندسی لازم شامل شبکه کثیف و یا شبکه پس‌یال (a<sub>b</sub>) و زاویه بین دو یال (i) جهت استفاده از این نمودارها از برش‌های ساختاری استخراج شده‌اند. با پیاده کردن پارامترهای نامبرده بر روی نمودار مربوطه همانطور که در شکل ۷ مشاهده می‌شود تاقدیس کبیرکوه در برش AA' در محدوده بدون راه حل و در برش BB' در محدوده ۷/۲۵٪ سترشیدگی پیش‌یال قرار گرفته است و تاقدیس چناره ستبرشیدگی پیش‌یال قرار ندارد.



شکل ۷. موقعیت تاقدیس‌های کبیرکوه و چناره در برش‌های عرضی ساختاری AA', BB', CC', DD'، و EE' بر روی نمودار نازک‌شدگی و سترشیدگی پیش‌یال چین‌های فراکنشی Jamison (1987)

هندسی چین‌های فرآکنشی به وجود آمده براساس تکامل جنبشی مدل (1990) Dahlstrom نمودارهای را معرفی نموده‌اند و معتقد‌ند چنانچه میزان شیب یال‌های چین و نسبت سینوس آنها اندازه‌گیری شود، می‌تواند جهت محاسبه میزان کوتاهش‌گی لایه پرقوم بالای لایه فرآکنشی شکل‌پذیر که چین در آن توسعه یافته است، استفاده گردد. برای تعیین میزان کوتاهش‌گی از طریق نمودارهای ارائه شده توسط Poblet and McClay (1996) پارامترهایی چون طول پیش‌یال، طول پس‌یال، شیب پیش‌یال، شیب پس‌یال و نسبت  $R$  مورد نیاز است که این متغیرها از برش‌های عرضی ترسیم شده محاسبه شده‌اند (جدول ۲).

مقدار کوتاهش‌گی به دست آمده از نمودار باید بر مبنای طول پیش‌یال و پس‌یال تاقدیس نرمالیزه گردد تا میزان کوتاهش‌گی واقعی به دست آید. زوایای نشان داده شده در این نمودارها به درجه واقعی هستند ولی مقادیر خطی بر مبنای  $I_1$  و  $I_2$  برابر  $10^\circ$  نرمالیزه شده‌اند. مقدار کوتاهش‌گی واقعی برای پیش‌یال و پس‌یال از رابطه (۱) حاصل می‌شود:

$$S = \frac{\text{Calculated Shortening}_{I_f} (I_b)}{10} \quad \text{رابطه ۱}$$

با جایگزینی کوتاهش‌گی‌های به دست آمده از نمودارها در رابطه ۱ به صورت جداگانه برای پیش‌یال و پس‌یال، مقدار کوتاهش‌گی واقعی به دست می‌آید. چنانچه این میزان با مقادیر کوتاهش‌گی به دست آمده از اندازه‌گیری برش‌های ترسیم شده (EE', DD', CC', BB', AA') در تاقدیس‌های کبیرکوه و چناره مطابقت داشته باشد، بیانگر آن است که هندسه و تحول جنبشی چین مورد نظر منطبق بر مدل می‌باشد. برای این منظور، پارامترهای لازم بر روی سطح بالای سازند مقاوم سروک در تاقدیس کبیرکوه و گروه بنگستان در تاقدیس چناره استخراج شده‌اند (جدول ۲) (به دلیل گسلیده بودن سطح گروه

### تحلیل جنبشی تاقدیس‌های کبیرکوه و چناره

سه مدل هندسی و جنبشی برای چین‌های فرآکنشی ارائه شده است (Poblet and McClay, 1996). بر پایه مدل اول که (1988) Mitchel and Woodward (1988) ارائه کرداند، چین فرآکنشی با افزایش طول یال‌ها و ثابت ماندن شیب آنها شکل می‌گیرد. در مدل دوم که (1956) De Sitter ارائه کرده است، چین فرآکنشی با افزایش شیب یال‌ها و ثابت ماندن طول آنها به وجود می‌آید. در مدل سوم که توسط Dahlstrom (1969) ارائه گردیده است چین فرآکنشی بر مبنای قانون ثابت بودن مساحت لایه‌های ویسکوز و مقاوم و با افزایش تدریجی طول و شیب پهلوها شکل می‌گیرد. تحول جنبشی چین‌های فرآکنشی در اکثر کمربندهای چین-راندگی عموماً منطبق بر مدل سوم است. زیرا مدل‌های اول و دوم به دلیل تغییر در مساحت منطقه شکل‌پذیر از نظر تحول جنبشی امکان‌پذیر نیستند، چون در فرایند تکامل چین فرآکنشی، لایه شکل‌پذیر از پایین ترین بخش ناودیس به سمت بالاترین بخش تاقدیس مهاجرت می‌کند تا چین به وجود آید (Poblet and McClay, 1996). بر مبنای مدل دالستروم با افزایش جابجایی راندگی، کوتاهش‌گی در لایه شکل‌پذیر رخ می‌دهد و موجب مهاجرت آن به بالاترین بخش تاقدیس در ناحیه لولایی آن می‌گردد. چنین مهاجرتی موجب برخاستگی ناحیه لولایی تاقدیس می‌گردد. برخاستگی با میزان کوتاهش‌گی رابطه مستقیمی دارد و در این صورت قانون ثابت بودن مساحت رعایت می‌شود. برای برقراری این قانون در هنگام تکامل جنبشی چین، باید همراه با افزایش طول یال‌ها شیب نیز افزایش یابد (مدل سوم). افزایش شیب یال‌ها با چرخش یال‌ها صورت می‌گیرد. چنین چرخشی در یال‌ها موجب توسعه ساختارهایی در یال‌های چین چون راندگی‌های توسعه یافته در یال‌های تاقدیس‌های کبیرکوه و چناره می‌گردد.

Poblet and McClay (1996) برای تحلیل

چینه‌شناسی کمتر شناخته شده است. حضور و فعالیت این سطوح فرآکنشی در توالی چینه‌شناسی برش‌های مورد مطالعه سبب گردیده است که احتمالاً در شرایط عدم کارایی موثر سطح فرآکنش قاعده‌ای هندسه و تکامل چین‌ها را کنترل نماید. توالی پالئوزوئیک زیرین و سازند دشتک، دو واحد لیتوژوژیکی کمقوم شناخته شده در ناحیه مورد مطالعه هستند که سبب جدایش دگریختی و اختلاف سبک ساختاری شده‌اند. برش‌های عرضی تا حد امکان ترازمند در تاقدیس‌های چناره و کبیرکوه نشانگر یک چین فرآکنشی گسلیده با چند سطح گستتگی<sup>۱</sup> است. مشاهده و تفسیر مقطع در عمق، مکانیسم چین خوردگی فرآکنشی بر روی سطح فرآکنش قاعده‌ای را برای این تاقدیس‌ها نشان می‌دهد. تجزیه و تحلیل برش‌ها نشان از عملکرد سازند دشتک به عنوان سطح فرآکنش میانی دارد. احتمالاً کاهش کارایی موثر سطح فرآکنش قاعده‌ای باعث شده است که در مراحل اولیه چین خوردگی بخشی از کوتاه‌شدگی با گستتگی در امتداد سری پالئوزوئیک زیرین تعديل شود اما در مراحل پیشرفته چین خوردگی، یک گسل رانده در پیش‌یال چین تشکیل شده و به سطح گستتگی قاعده‌ای متصل گردیده است و همزمان با تداوم چین خوردگی، سطح گستتگی میانی (سازند دشتک) فعال شده و کوتاه‌شدگی را تعديل کرده است و واحدهای چین‌های واقع در طرفین این سطح، سبک و هندسه چین خوردگی متفاوتی را تجربه کرده‌اند. حرکت این افق فرآکنشی از ناویدیس‌های اطراف به طرف هسته تاقدیس، سبب رشد و فرازگیری تاقدیس با هندسه متفاوتی نسبت به آنچه در عمق دیده می‌شود، شده است. عملکرد سازندهای پابده و گوریبی نیز به عنوان سطوح فرآکنشی باعث تشکیل چین‌های کوچک و فرعی شده است.

1. Fault detachment fold  
2. Multi detachment

بنگستان در برش CC محاسبات در این برش انجام نشده‌اند).

با توجه به پارامترهای محاسبه شده موقعیت تاقدیس‌های کبیرکوه و چناره در نمودارهای شکل a<sup>۲</sup> و b<sup>۳</sup> جهت برآورد میزان کوتاه‌شدگی تاقدیس‌ها در این برش‌ها مشخص شده است.

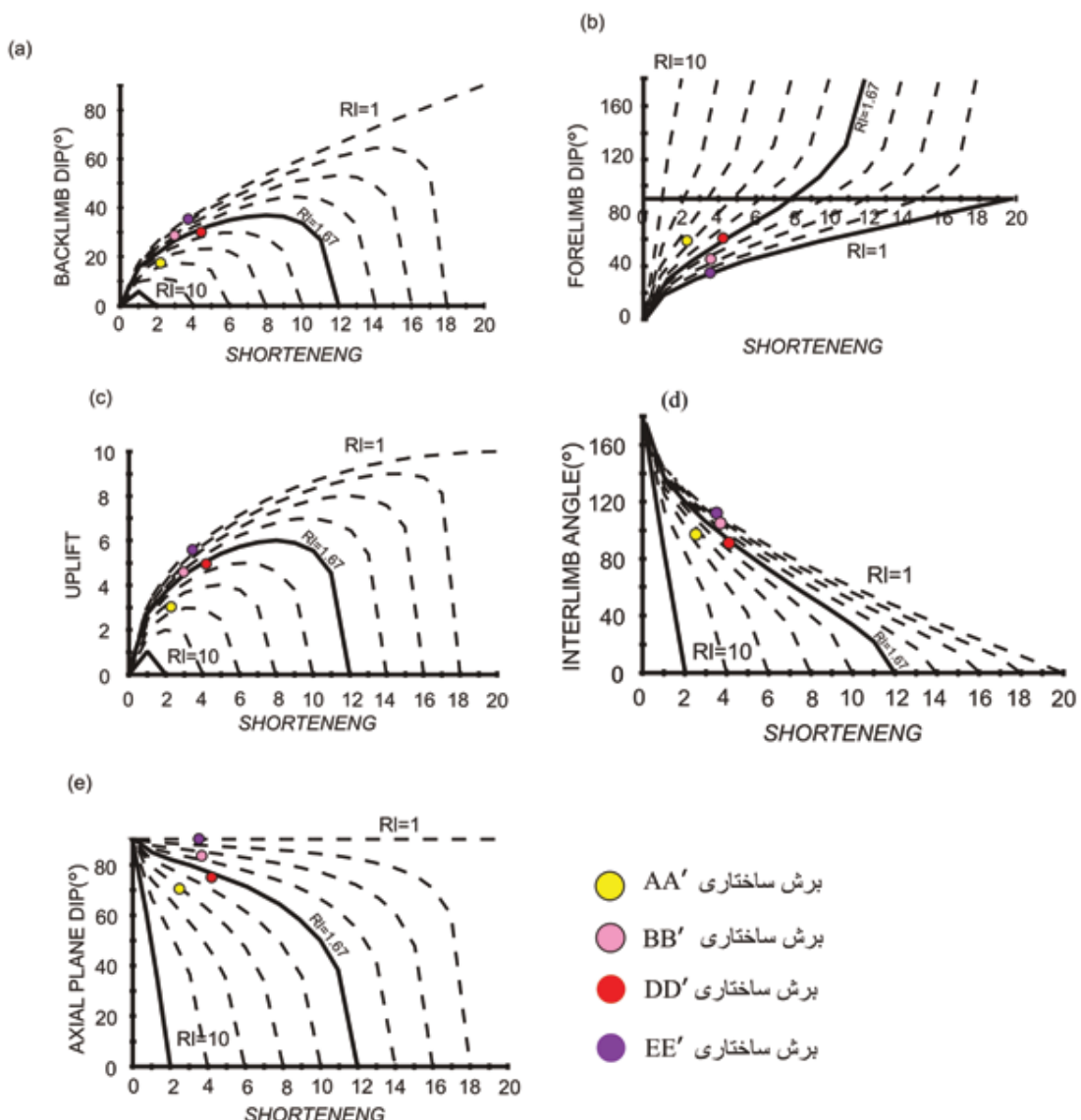
همچنین با استفاده از رابطه ۲ نیمی از زاویه بین دو یال نیز محاسبه شده است

$$R = \frac{V_b}{2} - \frac{V_f}{2} \quad (2)$$

با قرار دادن مقدار کوتاه‌شدگی به دست آمده از نمودار شکل a<sup>۴</sup> یا b<sup>۵</sup> در نمودارهای c<sup>۶</sup> و d<sup>۷</sup> به ترتیب مقادیر زاویه بین دو یال و شب سطح محوری چین نیز قابل محاسبه‌اند.

با توجه به مقدار R<sup>۸</sup> به دست آمده، مقدار کوتاه‌شدگی برای پس‌یال تاقدیس کبیرکوه در برش‌های AA' و BB' به ترتیب ۲/۲ و ۳/۰ و برای تاقدیس چناره در برش‌های DD' و EE'، ۴/۵ و ۳/۸ است، در حالی که مقادیر به دست آمده برای پیش‌یال تاقدیس کبیرکوه ۳/۵ و ۳/۷ و برای تاقدیس چناره به ترتیب ۴/۱ و ۲/۴ است که با قرار دادن این مقادیر در رابطه ۱ می‌توان مقدار کوتاه‌شدگی واقعی را بدست آورد. طبق رابطه ۲ میزان زاویه بین دو یال در تاقدیس‌های کبیرکوه و چناره محاسبه شده است (جدول ۲). مقایسه نتایج به دست آمده از نمودارها با مقادیر حاصل از روابط و همچنین ترسیم‌های هندسی انجام شده (شکل‌های ۵ و ۶ و جدول ۱) حاکی از تشابه نزدیک این مقادیر با یکدیگر است.

لزوم حضور یک سطح فرآکنش قاعده‌ای در تشکیل چین‌های فرآکنشی توسط مولفین مختلفی (مثل Mitra, 2002 and 2003; Homza and Wallace, 1995; Dahlstrom, 1990) مورد تاکید قرار گرفته است. با این حال نقش سطوح فرآکنش میانی فعل در توالی



شکل ۸. نمودارهای تعیین پارامترهای هندسی چین‌های فرآکنشی (برگرفته از 1996 (Poblet and McClay, 1996). منحنی‌های ترسیم شده در نمودارها به ترتیب از راست به چپ با مقادیر  $R_I = 1, 1/43, 1/25, 1/11, 2/5, 5, 10$  و  $10$  متناظر می‌باشند. (موقعیت تاقیسیس‌های کبیرکوه و چناره در برش‌های AA', BB', CC' و EE' بر پایه پارامترهای هندسی آن در نمودارها با دایره مشخص شده است)

## تحلیل هندسی و جنبشی تاقدیس‌های کبیرکوه و چناره در ...

جدول ۲. پارامترهای هندسی تاقدیس‌های کبیرکوه و چناره در برش‌های AA', BB'، و EE' جهت تحلیل جنبشی آنها به روش & McClay (1996)

EE'	DD'	BB'	نام برش	طول پس‌یال ( $V_b$ ) (متر)
۵۲۰۳/۱۸	۳۴۱۵/۹۱	۱۳۷۸۵/۴۳	۱۰۸۹۷/۶۳	طول پیش‌یال ( $V_a$ ) (متر)
۵۹۱۳/۸۸	۳۹۸۱/۵۸	۱۰۱۰/۷	۸۲۹۰/۲۰	شیب پیش‌یال ( $v_a$ ) (درجه)
۳۵	۶۰	۴۵	۶۳	شیب پس‌یال ( $v_b$ ) (درجه)
۳۵	۳۰	۳۰	۱۸	$Rl = \sin \frac{V_f}{V_b}$
۱/۰۰	۱/۷۳	۱/۴۱	۲/۹۷	کوتاه‌شدنگی محاسبه شده از روی نمودار (نرمالیزه شده برایه پس‌یال) (متر)
۱۹۷۷/۲۱	۱۵۷۱/۳۲	۴۱۳۵/۶۳	۲۳۹۷/۴۸	کوتاه‌شدنگی محاسبه شده از روی نمودار (نرمالیزه شده برایه پیش‌یال) (متر)
۲۰۶۹/۸۵	۱۶۳۲/۴۵	۳۷۳۷/۳۷	۱۹۸۹/۶۵	کوتاه‌شدنگی محاسبه شده از روی برش (متر)
۳	۱۶۵۱/۹۷	۳۹۱۷/۶۳	۵	برخاستگی محاسبه شده از روی نمودار (نرمالیزه شده برایه پس‌یال) (متر)
۲۹۱۳/۷۸	۱۷۰۷/۹۵۵	۶۲۰۳/۴۴	۳۲۶۹/۲۸۹	زاویه بین دو یال محاسبه شده از روی نمودار (درجہ)
۱۱	۹۳	۱۰۲	۱۰۰	نیمی از زاویه بین دو یال محاسبه شده از طریق رابطه (درجہ)
۵۵	۹۰	۵۲/۵	۴۹/۵	شیب سطح محوری محاسبه شده از طریق نمودار (درجہ)
۸۹	۷۵	۸۴	۷۰	شیب سطح محوری محاسبه شده از طریق نمودار (درجہ)

### ساختاری تهیه شده از تاقدیس‌ها با الگوهای ارائه شده

پیشین برای چین‌های مرتبط با گسلش راندگی حاکی از آن است که این تاقدیس‌ها از نوع چین‌های فراکنشی گسلیده با چند سطح فراکنش می‌باشند.

تاقدیس‌های چناره و کبیرکوه، نمونه‌های بارزی از تکامل ساختمان‌های چین خورده در حضور سطوح فراکنش میانی هستند. فعالیت این سطوح کنترل کننده هندسه چین در مراحل پیشرفتۀ دگرشكلى است و واحدهای سنگی واقع در دوسوی این سطوح هندسه‌های متفاوتی را از خود نشان می‌دهند. با استفاده از روش تصویر عمق و حفظ ضخامت، تاقدیس چناره سطح فراکنش اصلی را در عمقی متناظر با تبخیری‌های تریاس داشتک نشان داد که این سطح با سطح فراکنش میانی اصلی در تاقدیس کبیرکوه نیز متناظر است. هندسه این

### نتیجه‌گیری

تاقدیس‌های نامتقاضن کبیرکوه و چناره از نوع چین‌های غیراستوانه‌ای با تمایل به سمت جنوب، جنوب‌باخته هستند و اندازه‌گیری پارامترهای مربوط به یک سطح چین خورده هر دو تاقدیس را به عنوان چین‌های باز و پهن معرفی کرده است که در رده ۱C و ۲ طبقه‌بندی (Ramsay and Huber 1978) قرار می‌گیرند. از نظر فشردگی و نسبت ابعادی به ترتیب واژه‌های باز و پهن برای هر دو تاقدیس پیشنهاد می‌شود. بر پایه مقادیر به دست آمده برای خمیدگی نسبی چین (کندی) واژه نیمه‌زاویه‌دار تا نیمه‌گرد شده برای توصیف تاقدیس‌ها مناسب به نظر می‌رسند. تجزیه و تحلیل پارامترهای چین خورده مرتبط با گسلش برای تاقدیس‌های کبیرکوه و چناره و مقایسه برش‌های عرضی

- .., 49, 2182-2245.
- Jamison, W.R., 1987. Geometric analysis of fold development in overthrust terrenes. *Journal of Structural Geology*, 9, 207-219.
  - McClay, K.R., 2003. Structural Geology for Petroleum Exploration, Lecture Notes., 503.
  - Mitra, S., 2002. Structural models of faulted detachment folds. *AAPG Bulletin*, 86, 9, 1673-1694.
  - Mitra, S., 2003. A unified kinematic model for the evolution of detachment folds. *Journal of Structural Geology*, 25, 10, 1659-1673.
  - Mitchel, M. and Woodward, N.B., 1988. Kink detachment fold in the southwest Montana fold and thrust belt. *Geology*, 16, 162-165
  - Nemcok, M., Schamel, S. and Gayer, R., 2005. Thrust belt, Cambridge Press, 541.
  - Poblet, J.A. and McClay, K.R., 1996. Geometry and kinematics of single layer detachment folds. *AAPG Bulletin*, 80, 1085-1109.
  - Ramsay, J.G. and Huber, M.I., 1978. The Techniques of Modern Structural Geology, Volume.1: Strain Analysis. Academic Press, London, 307.
  - Sepehr, M., Cosgrove, J.W. and Moieni, M., 2006. The impact of cover rock rheology on the style of folding in the Zagros fold-thrust belt. *Tectonophysics*, 427, 265-281.
  - Suppe, J., 1985. Principles of Structural Geology. Prentice Hall, Englewood Cliffs, New Jersey, 537.
  - Throbjornsen, K.L. and Dunne, W.M., 1997. Origin of thrust-related fold: geometric vs kinematic tests. *Journal of Structural Geology*, 19, 303-319.
- ساختارها در سطح با هندسه آنها در عمقی که سازند دشتك واقع شده است، متفاوت است که اين امر بهدليل نقشی است که سازند دشتك به عنوان سطح فراكنش ميانی بازی كرده است.
- ### منابع
- حاجی علی بیگی، ح.، علوی، س.ا، افتخارنژاد، ج.، مختاری، م.، آدابی، م.ح.، ۱۳۸۶. استفاده از شکستگی‌ها در تفسیر ساختاری یک تاقدیس، مطالعه موردنی: تاقدیس چناهه، جنوب باختر ایران. *فصلنامه علمی-پژوهشی علوم زمین*. ۴۴، ۷۴-۳۳.
  - مطیعی، م.، ۱۳۷۴. چینه‌شناسی زاگرس. انتشارات سازمان زمین‌شناسی و اکتشافات معدنی ایران، ۵۴۰.
  - Dahlstrom, C.A.D., 1969. The upper detachment in concentric folding. *Bulletin of Canadian Petroleum Geology*, 10, 7, 326-346.
  - Dahlstrom, C.D.A., 1990. Geometric constraints derived from the law of conservation of volume and applied to evolutionary models for detachment folding. *AAPG, Bulletin*, 74, 3, 336-344.
  - De Sitter, L., 1959. *Structural Geology*. McGraw Hill, London, 552.
  - Homza, T.X. and Wallace, W.K., 1995. Geometric and kinematic models for detachment folds with fixed and variable detachment depths. *Journal of Structural Geology*, 17, 575-587.
  - Goodarzi, M.H.A., 2007. Structure of the Chenareh anticline in Lurestan, Zagros: role of gravity in folding style. MSc thesis. Universitat de Barcelona, 63.
  - James, G.A. and Wynd, J.G., 1965. Stratigraphic nomenclature of Iranian oil consortium agreement area. *AAPG Bulletin*